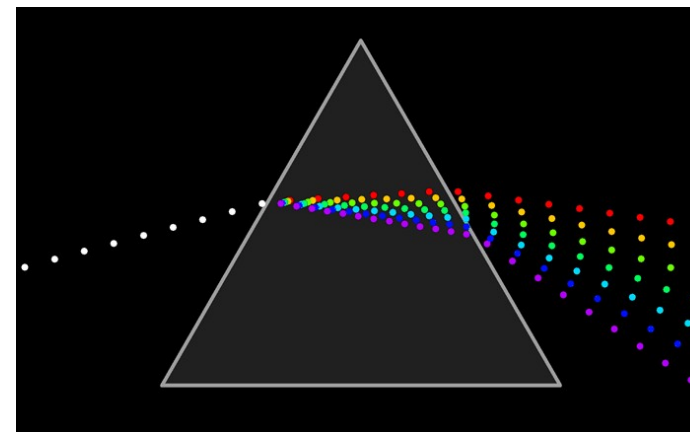


第三章 电磁波的传播

3.1 电磁波在介质中的传播

- 电磁场在各向同性的线性介质中传播时，一般存在色散现象。
- 复杂电磁波可以利用傅立叶级数展开成单色（单频）波的叠加。
- 无界空间的单色波是最简单的形式。



了解电磁波的性质，可首先研究在不存在电荷与电流的（无源区域）空间电磁场的运动形式（ $\rho = 0, j = 0$ ）

介质中的麦克斯韦方程组 →

$$\left\{ \begin{array}{l} \nabla \times \mathbf{E} = - \frac{\partial \mathbf{B}}{\partial t} \\ \nabla \times \mathbf{H} = \frac{\partial \mathbf{D}}{\partial t} \\ \nabla \cdot \mathbf{E} = 0 \\ \nabla \cdot \mathbf{B} = 0 \end{array} \right.$$



$$\nabla \cdot \mathbf{E} = 0$$

$$\nabla \times \mathbf{H} = \frac{\partial \mathbf{D}}{\partial t}$$

$$\nabla \times (\nabla \times \mathbf{E}) = -\frac{\partial}{\partial t} (\nabla \times \mathbf{B}) \quad \Rightarrow \quad \nabla (\nabla \cdot \mathbf{E}) - \nabla^2 \mathbf{E} = -\frac{\partial}{\partial t} (\nabla \times \mathbf{B})$$

Maxwell Eq 2,3



$$\nabla^2 \mathbf{E} - \mu\epsilon \frac{\partial^2 \mathbf{E}}{\partial t^2} = 0$$

$$\nabla^2 \mathbf{B} - \mu\epsilon \frac{\partial^2 \mathbf{B}}{\partial t^2} = 0$$

电磁场波动方程

介质中的波速:

$$v = \frac{1}{\sqrt{\mu\epsilon}} = \frac{c}{\sqrt{\mu_r \epsilon_r}}$$



$$\nabla^2 \mathbf{E} - \frac{1}{v^2} \frac{\partial^2 \mathbf{E}}{\partial t^2} = 0$$

$$\nabla^2 \mathbf{B} - \frac{1}{v^2} \frac{\partial^2 \mathbf{B}}{\partial t^2} = 0$$

真空中的电磁波波速为:

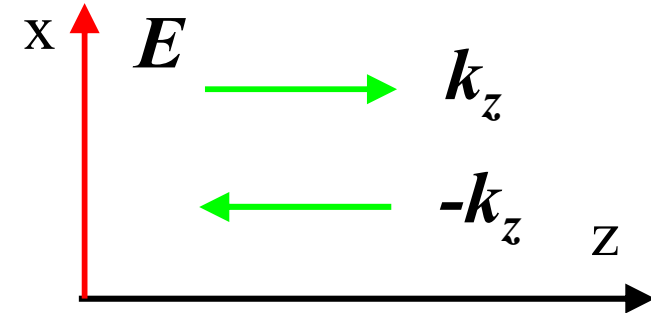
$$c = 1 / \sqrt{\epsilon_0 \mu_0}$$



特例：沿z方向传播的单色平面波解：

$$\mathbf{E} = \mathbf{e}_x E_x(z) \cos \omega t \quad \dot{\mathbf{E}} e^{j\omega t} = \mathbf{e}_x \dot{E}_x(z) e^{j\omega t}$$

$$\frac{d^2}{dz^2} \dot{E}_x(z) + \omega^2 \varepsilon \mu \dot{E}_x(z) = 0$$



波矢量： $k = \omega \sqrt{\varepsilon \mu}$, $\frac{d^2}{dz^2} \dot{E}_x(z) + k^2 \dot{E}_x(z) = 0$ 一维波动方程

方程解：

$$\dot{E}_x(z) = A_1 e^{-jkz} + A_2 e^{+jkz}$$

$$E_x^+(z) = \text{Re} \left(E_{xm}^+ e^{-jkz} e^{j\omega t} \right) = E_{xm}^+ \cos(\omega t - kz)$$

或： $E_x^-(z) = \text{Re} \left(E_{xm}^- e^{+jkz} e^{j\omega t} \right) = E_{xm}^- \cos(\omega t + kz)$



一般单色平面波解:

$$\begin{cases} \mathbf{E} = E_0 \cos(\omega t - \mathbf{k} \cdot \mathbf{r}) \\ \mathbf{B} = B_0 \cos(\omega t - \mathbf{k} \cdot \mathbf{r}) \end{cases}$$

$$\begin{cases} \dot{\mathbf{E}} = E_0 \exp[j(\omega t - \mathbf{k} \cdot \mathbf{r})] \\ \dot{\mathbf{B}} = B_0 \exp[j(\omega t - \mathbf{k} \cdot \mathbf{r})] \end{cases}$$

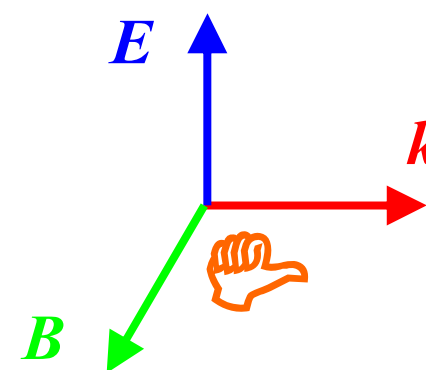
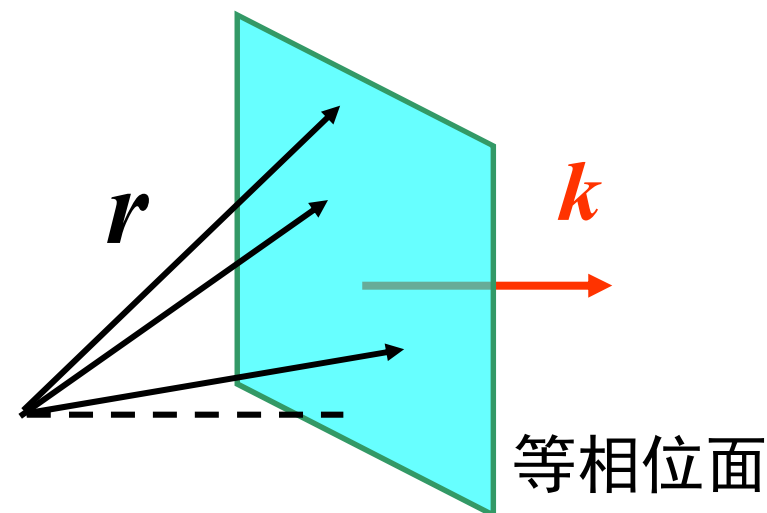
复数形式

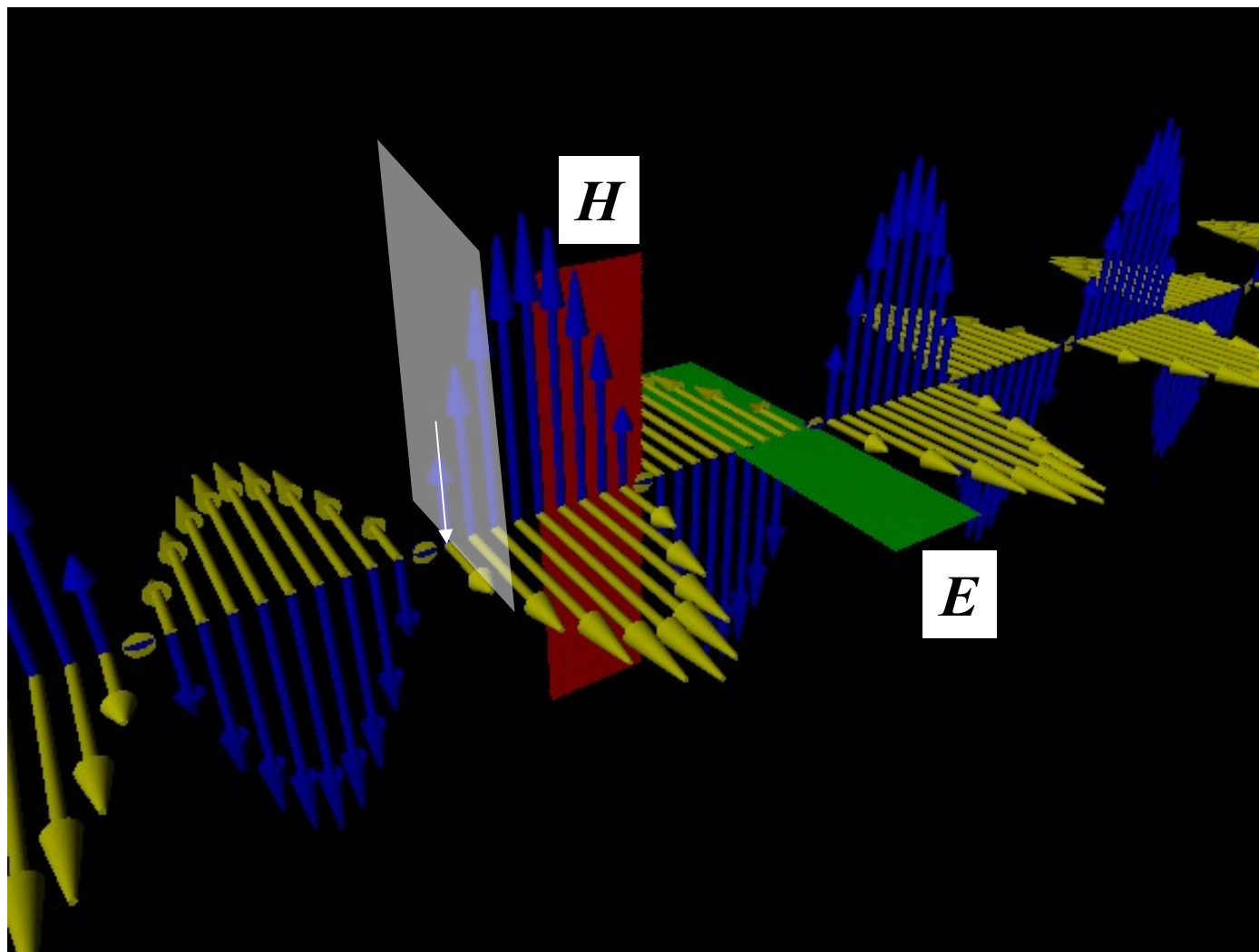
波矢量 $|\mathbf{k}| = \frac{\omega}{v} = \omega \sqrt{\epsilon \mu} = \frac{2\pi}{\lambda}$

等相位面为平面：与 \mathbf{k} 垂直的平面

将单色平面波解代入麦氏方程

$$\begin{cases} \mathbf{E}_0 \times \mathbf{k} = -\omega \mathbf{B}_0 \text{ 或 } \mathbf{B}_0 = \frac{1}{v} \frac{\mathbf{k}}{k} \times \mathbf{E}_0 \\ \mathbf{B}_0 \times \mathbf{k} = \frac{1}{v^2} \omega \mathbf{E}_0 \\ \mathbf{k} \cdot \mathbf{E}_0 = 0 \\ \mathbf{k} \cdot \mathbf{B}_0 = 0 \end{cases}$$





- 介质中传播的电磁波为横波。
- 电场和磁场都与传播方向垂直， E, B 同相位。

振幅：

$$\left| \frac{E_0}{B_0} \right| = v = \frac{1}{\sqrt{\mu\epsilon}}$$

无限大介质的波阻抗：

$$\left| \frac{E}{H} \right| = \frac{\mu E_0}{B_0} = \sqrt{\frac{\mu}{\epsilon}} = \eta$$

真空中：

$$\left| \frac{E}{B} \right| = \frac{1}{\sqrt{\mu_0\epsilon_0}} = c$$

真空中的波阻抗：

$$\left| \frac{E}{H} \right| = \sqrt{\frac{\mu_0}{\epsilon_0}} = \eta_0$$

$$= 120\pi = 377\Omega$$

介质只改变电场和磁场强度的比值，不改变电磁波的基本性质



电磁波的极化（偏振）：电场振荡的方向→极化方向

电磁波按其极化性质可分为三类：

(1) 线极化波：

$$\mathbf{E} = \mathbf{e}_\varepsilon E_0 \exp[j(\omega t - \mathbf{k} \cdot \mathbf{r})]$$

(2) 圆极化波：

$$\mathbf{E} = E_0 \cos(\omega t - \mathbf{k} \cdot \mathbf{r}) \mathbf{e}_{\varepsilon 1} + E_0 \sin(\omega t - \mathbf{k} \cdot \mathbf{r}) \mathbf{e}_{\varepsilon 2}$$

式中两偏振单位矢量 $\mathbf{e}_{\varepsilon 1}$ 和 $\mathbf{e}_{\varepsilon 2}$ 互相垂直。

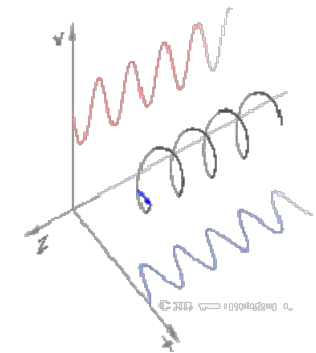
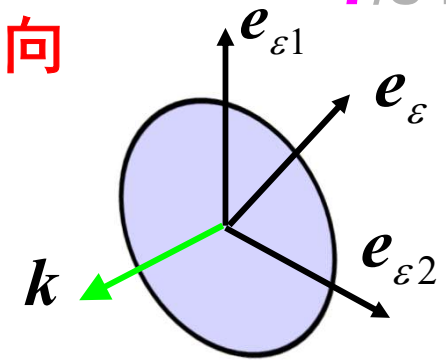
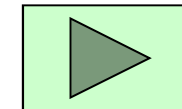
(3) 椭圆极化波：

$$\mathbf{E} = A \cos(\omega t - \mathbf{k} \cdot \mathbf{r}) \mathbf{e}_{\varepsilon 1} + B \sin(\omega t - \mathbf{k} \cdot \mathbf{r}) \mathbf{e}_{\varepsilon 2}$$

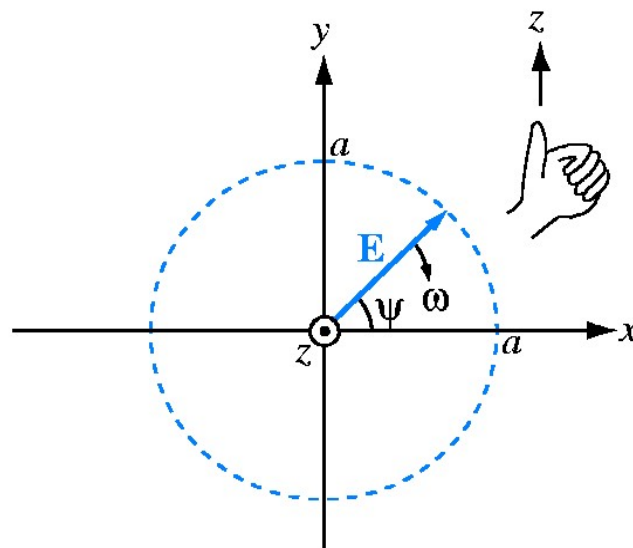
其两个分量为 $\mathbf{E}_1 = A \cos(\omega t - \mathbf{k} \cdot \mathbf{r}) \mathbf{e}_{\varepsilon 1}$ 和 $\mathbf{E}_2 = B \sin(\omega t - \mathbf{k} \cdot \mathbf{r}) \mathbf{e}_{\varepsilon 2}$

端点的时间轨迹为椭圆：

$$\frac{E_1^2}{A^2} + \frac{E_2^2}{B^2} = 1$$

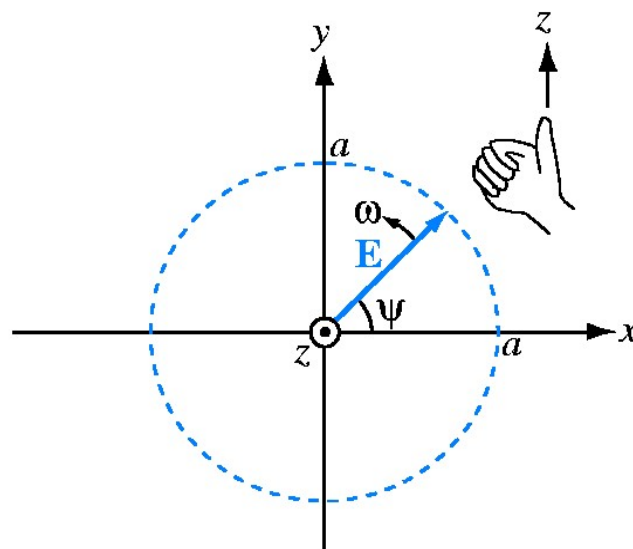


左旋圆极化波



(a) LHC polarization

右旋圆极化波



(b) RHC polarization



右旋圆极化波的电场强度为3mV/m, 沿+y方向在 $\epsilon=4\epsilon_0$, $\mu=\mu_0$ 的介质里传播, 如果频率为100MHz, 求 $E(y, t)$, $H(y, t)$ 。

相位滞后90度

$$\begin{aligned}\dot{\mathbf{E}}(y) &= \hat{\mathbf{x}}\dot{E}_x + \hat{\mathbf{z}}\dot{E}_z \\ &= \hat{\mathbf{x}}ae^{-j\pi/2}e^{-jky} + \hat{\mathbf{z}}ae^{-jky} = (-j\hat{\mathbf{x}} + \hat{\mathbf{z}})3e^{-jky} \\ \dot{\mathbf{H}}(y) &= \frac{1}{\eta}\hat{\mathbf{y}} \times \dot{\mathbf{E}}(y) = \frac{1}{\eta}\hat{\mathbf{y}} \times (-j\hat{\mathbf{x}} + \hat{\mathbf{z}})3e^{-jky} = \frac{3}{\eta}(\hat{\mathbf{z}}j + \hat{\mathbf{x}})e^{-jky}\end{aligned}$$

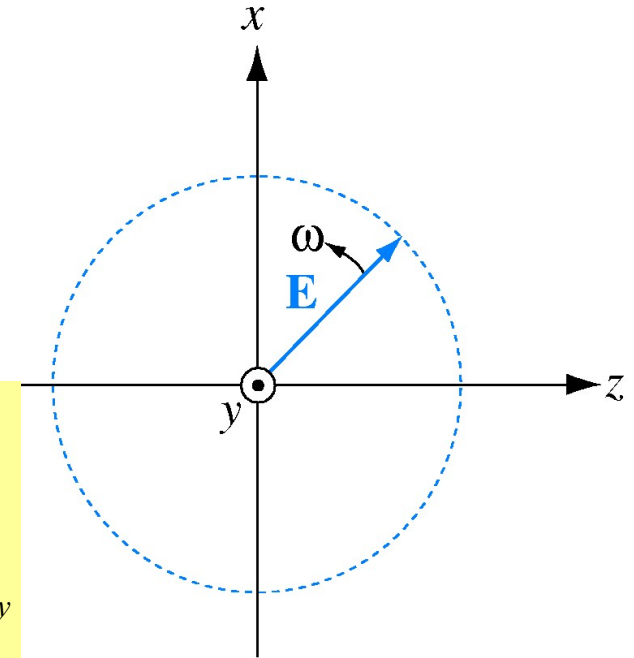


Figure 7-10

$$\omega = 2\pi f = 2\pi \times 10^8 \quad (\text{rad/s})$$

$$k = \frac{\omega\sqrt{\epsilon_r}}{c} = \frac{4}{3}\pi \quad \eta = \frac{\eta_0}{\sqrt{\epsilon_r}} = \frac{120\pi}{\sqrt{4}} = 60\pi$$

$$\mathbf{e}(y, t) = \text{Re}[\dot{\mathbf{E}}(y)e^{j\omega t}] = 3[\hat{\mathbf{x}}\sin(\omega t - ky) + \hat{\mathbf{z}}\cos(\omega t - ky)] \quad (\text{mV/m})$$

$$\mathbf{h}(y, t) = \text{Re}[\dot{\mathbf{H}}(y)e^{j\omega t}] = \frac{1}{20\pi}[\hat{\mathbf{x}}\cos(\omega t - ky) - \hat{\mathbf{z}}\sin(\omega t - ky)] \quad (\text{mA/m})$$



例 对平面电磁波，试证明存在如下关系：

- (1) 能量密度 u 与能流密度 \mathbf{g} 之间满足： $\mathbf{g} = uv \frac{\mathbf{k}}{k}$ 。式中， $v = \frac{1}{\sqrt{\mu\epsilon}}$ \mathbf{k} 为波矢量。
- (2) 麦克斯韦应力张量 $\vec{\Phi}$ 与场动量密度 \mathbf{G} 之间满足： $\vec{\Phi} = -\mathbf{G}v \frac{\mathbf{k}}{k}$ 。

解： (1) $\mathbf{g} = \mathbf{E} \times \mathbf{H}$ ，对于平面电磁波， $\mathbf{B} = \sqrt{\mu\epsilon} \frac{\mathbf{k}}{k} \times \mathbf{E} = \mu \mathbf{H}$ ，代入展开，得到，

$$\mathbf{g} = \frac{\sqrt{\mu\epsilon}}{\mu} E^2 \frac{\mathbf{k}}{k} = \sqrt{\frac{\epsilon}{\mu}} E^2 \frac{\mathbf{k}}{k} = \epsilon v E^2 \frac{\mathbf{k}}{k}$$

而 $u = \frac{1}{2}(\epsilon E^2 + \frac{B^2}{\mu}) = \frac{1}{2}(\epsilon E^2 + \epsilon v^2 B^2) = \epsilon E^2$ ，于是将它代入上式就可得证。

- (2) $\vec{\Phi} = \mathbf{D}\mathbf{E} + \mathbf{H}\mathbf{B} - \frac{1}{2}(\mathbf{D} \cdot \mathbf{E} + \mathbf{H} \cdot \mathbf{B})\vec{\mathbf{S}}$ ，为简化数学运算，且不失其一般性，

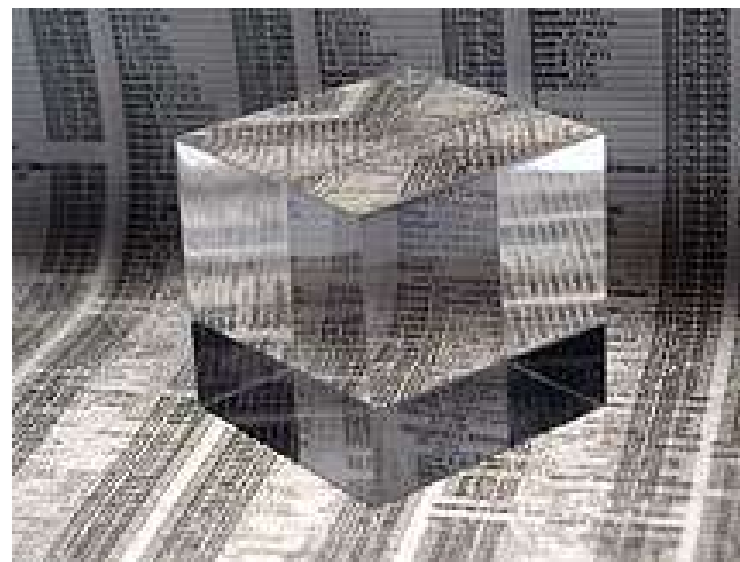
可以这样取坐标： $\mathbf{E} = E \mathbf{e}_x, \mathbf{B} = B \mathbf{e}_y$ ，再设介质是线性的，那么，就有关系

$$\begin{aligned} \vec{\Phi} &= \epsilon E^2 \mathbf{e}_x \mathbf{e}_x + \frac{1}{\mu} B^2 \mathbf{e}_y \mathbf{e}_y - \frac{1}{2}(\epsilon E^2 + \frac{1}{\mu} B^2)(\mathbf{e}_x \mathbf{e}_x + \mathbf{e}_y \mathbf{e}_y + \mathbf{e}_z \mathbf{e}_z) \\ &= -\epsilon E^2 \mathbf{e}_z \mathbf{e}_z = -(\epsilon E^2 \frac{1}{v} \frac{\mathbf{k}}{k}) \frac{\mathbf{k}}{k} v \end{aligned}$$

而 $\mathbf{G} = \mathbf{D} \times \mathbf{B} = \epsilon \mu \mathbf{E} \times \mathbf{H} = \frac{1}{v^2} \mathbf{g} = \frac{1}{v} \epsilon E^2 \frac{\mathbf{k}}{k}$ ，将它代入上式，就可证明。这里， $-\vec{\Phi}$ 代表动量流密度。



3.2 电磁波在介质分界面上的反射和折射



考虑一定频率的单色平面波
入射波为：

$$\begin{cases} \mathbf{E}_i = E_0 \exp[j(\omega t - \mathbf{k}_i \cdot \mathbf{r})] \\ \mathbf{B}_i = \sqrt{\mu_1 \varepsilon_1} \frac{\mathbf{k}_i}{k_i} \times E_0 \exp[j(\omega t - \mathbf{k}_i \cdot \mathbf{r})] \end{cases}$$

Maxwell方程：

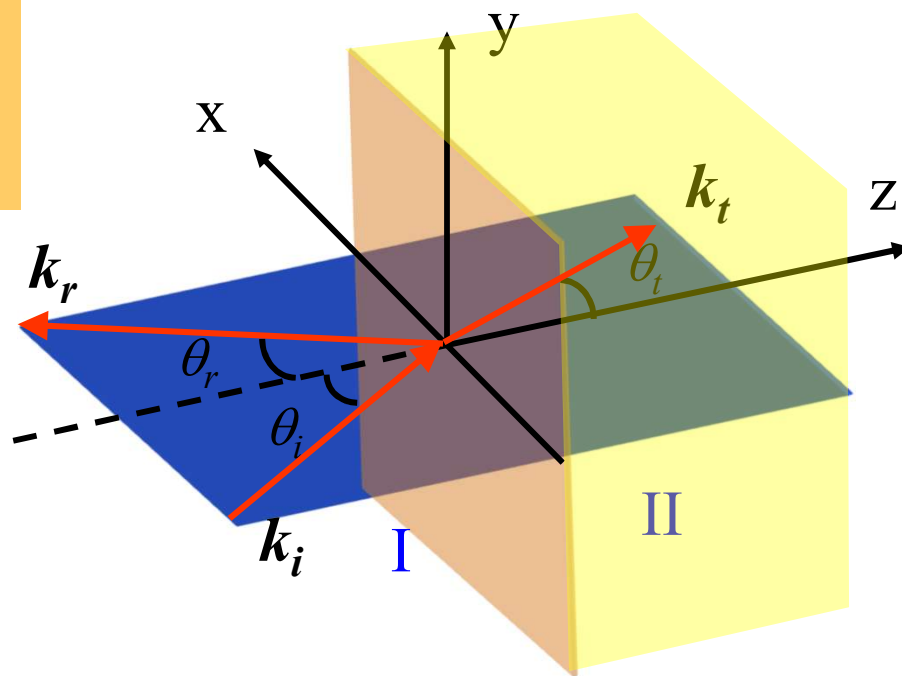
$$\begin{cases} \nabla \times \mathbf{E} = -j\omega \mu \mathbf{H} \\ \nabla \times \mathbf{H} = j\omega \varepsilon \mathbf{E} \\ \nabla \cdot \mathbf{E} = 0 \\ \nabla \cdot \mathbf{H} = 0 \end{cases}$$

上式只有一、二式是独立的。
一般在界面上： $\sigma_f = 0$, $\mathbf{k}_f = 0$

$$\begin{cases} \mathbf{n} \times (\mathbf{E}_2 - \mathbf{E}_1) = 0 \\ \mathbf{n} \times (\mathbf{H}_2 - \mathbf{H}_1) = 0 \end{cases}$$



$$\begin{cases} E_{1t} = E_{2t} \\ H_{1t} = H_{2t} \end{cases}$$



设反射波和折射波也是平面波，分界面为xy面，入射面为xz面：

反射波电场：

$$\mathbf{E}_r = E_{r0} \exp[j(\omega_r t - \mathbf{k}_r \cdot \mathbf{r})]$$

磁感应强度：

$$\mathbf{B}_r = \sqrt{\mu_1 \varepsilon_1} \frac{\mathbf{k}_r}{k_r} \times \mathbf{E}_{r0} \exp[j(\omega_r t - \mathbf{k}_r \cdot \mathbf{r})]$$

折射（透射）波：

$$\begin{cases} \mathbf{E}_t = E_{t0} \exp[j(\omega_t t - \mathbf{k}_t \cdot \mathbf{r})] \\ \mathbf{B}_t = \sqrt{\mu_2 \varepsilon_2} \frac{\mathbf{k}_t}{k_t} \times \mathbf{E}_{t0} \exp[j(\omega_t t - \mathbf{k}_t \cdot \mathbf{r})] \end{cases}$$

在z=0面上，对任意r、t 满足边值关系，必须有：

相位匹配

$$\begin{cases} \omega = \omega_r = \omega_t \\ k_{iy} = k_{ry} = k_{ty} \\ k_{ix} = k_{rx} = k_{tx} \end{cases}$$

由边值关系：

$$\begin{cases} (\mathbf{E}_0)_t + (\mathbf{E}_{r0})_t = (\mathbf{E}_{t0})_t \\ \sqrt{\frac{\varepsilon_1}{\mu_1}} \left(\frac{\mathbf{k}_i}{k_i} \times \mathbf{E}_0 \right)_t + \sqrt{\frac{\varepsilon_1}{\mu_1}} \left(\frac{\mathbf{k}_r}{k_r} \times \mathbf{E}_{r0} \right)_t = \sqrt{\frac{\varepsilon_2}{\mu_2}} \left(\frac{\mathbf{k}_t}{k_t} \times \mathbf{E}_{t0} \right)_t \end{cases}$$

入射波矢量在xz平面，有 $k_{iy} = 0$ 所以： $k_{ry} = k_{ty} = 0$



入射角、反射角和折射角满足

$$\begin{cases} k_{ix} = k_i \sin \theta_i \\ k_{rx} = k_r \sin \theta_r \\ k_{tx} = k_t \sin \theta_t \end{cases}$$

设 v_1, v_2 为在介质中的相速, 有

$$v = \frac{\omega}{k} = \frac{1}{\sqrt{\mu\epsilon}}$$

$$\begin{cases} k_i = \frac{\omega}{v_1} = k_r \\ k_t = \frac{\omega}{v_2} \end{cases}$$

$$\begin{aligned} k_{ix} &= k_{rx} \\ k_{ix} &= k_{tx} \end{aligned}$$



$$\begin{cases} \theta_i = \theta_r \\ k_i \sin \theta_i = k_t \sin \theta_t \end{cases}$$

$$\frac{\sin \theta_i}{\sin \theta_t} = \frac{k_t}{k_i} = \frac{v_1}{v_2} = \frac{\sqrt{\mu_2 \epsilon_2}}{\sqrt{\mu_1 \epsilon_1}} = \frac{n_2}{n_1} = n_{21}$$

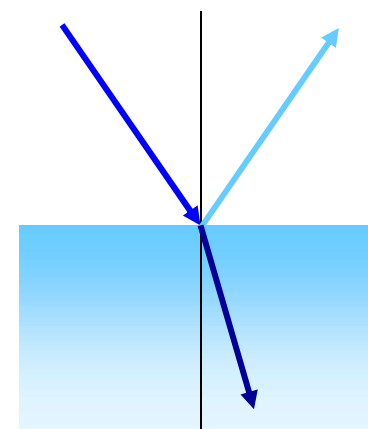
**反射和折射定律
(Snell定律)**

$$\theta_i = \theta_r$$

$$n_1 \sin \theta_i = n_2 \sin \theta_t$$

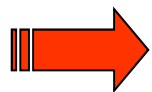
n_1, n_2 为介质I和II的折射率, n_{21} 为介质II 对I的相对折射率。对非铁磁物质:

$$n_{21} = \sqrt{\frac{\epsilon_2}{\epsilon_1}}$$



入射波、反射波和折射波的振幅：

- (1) E 垂直于入射面的情形(垂直极化)。这时 $E_{0x} = E_{0z} = 0$ $E_{0y} = E_0$



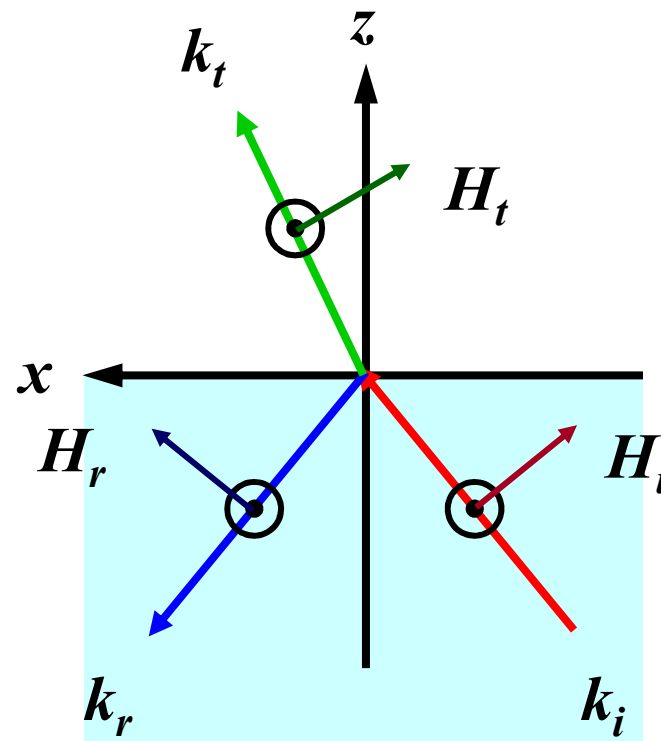
$$E_0 + E_{r0} = E_{t0}$$

$$\sqrt{\frac{\epsilon_1}{\mu_1}}(E_0 \cos \theta_i - E_{r0} \cos \theta_r) = \sqrt{\frac{\epsilon_2}{\mu_2}} E_{t0} \cos \theta_t$$

$$\mu_1 = \mu_2 = \mu_0$$

$$\sqrt{\epsilon_1}(E_0 - E_{r0}) \cos \theta_i = \sqrt{\epsilon_2} E_{t0} \cos \theta_t$$

$$\begin{cases} \frac{E_{r0}^\perp}{E_0^\perp} = \frac{\sqrt{\epsilon_1} \cos \theta_i - \sqrt{\epsilon_2} \cos \theta_t}{\sqrt{\epsilon_1} \cos \theta_i + \sqrt{\epsilon_2} \cos \theta_t} = -\frac{\sin(\theta_i - \theta_t)}{\sin(\theta_i + \theta_t)} \\ \frac{E_{t0}^\perp}{E_0^\perp} = \frac{2\sqrt{\epsilon_1} \cos \theta_i}{\sqrt{\epsilon_1} \cos \theta_i + \sqrt{\epsilon_2} \cos \theta_t} = \frac{2\cos \theta_i \sin \theta_t}{\sin(\theta_i + \theta_t)} \end{cases}$$



E 垂直于入射面



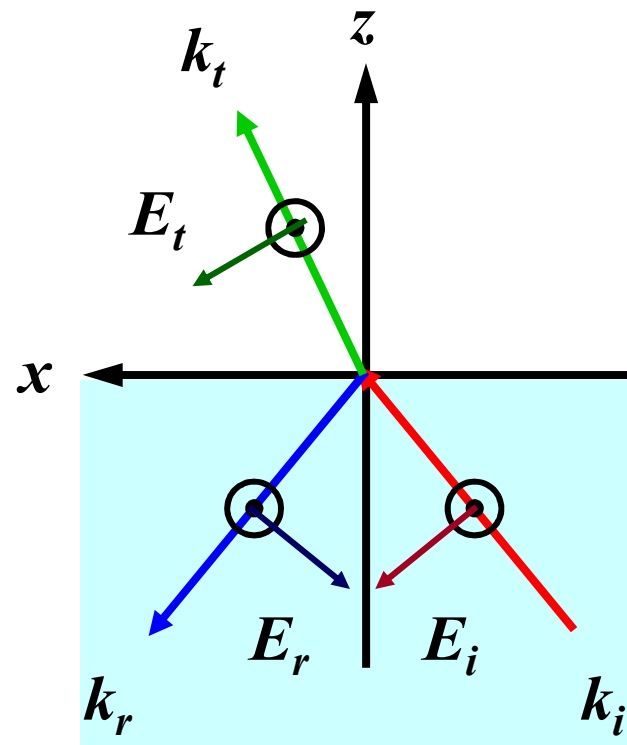
(2) E 平行于入射面的情形 (平行极化)。这时: $E_{0y} = 0$

$$E_0 \cos \theta_i - E_{r0} \cos \theta_r = E_{t0} \cos \theta_t$$

$$\sqrt{\varepsilon_1} (E_0 + E_{r0}) = \sqrt{\varepsilon_2} E_{t0}$$

E 平行于入射面

菲涅耳(Fresnel)公式



$$\begin{cases} \frac{E_{r0}''}{E_0''} = \frac{\sqrt{\varepsilon_2} \cos \theta_i - \sqrt{\varepsilon_1} \cos \theta_t}{\sqrt{\varepsilon_2} \cos \theta_i + \sqrt{\varepsilon_1} \cos \theta_t} = \frac{\sin \theta_i \cos \theta_i - \sin \theta_t \cos \theta_t}{\sin \theta_i \cos \theta_i + \sin \theta_t \cos \theta_t} = \frac{\tan(\theta_i - \theta_t)}{\tan(\theta_i + \theta_t)} \\ \frac{E_{t0}''}{E_0''} = \frac{2 \cos \theta_i \sin \theta_t}{\sin \theta_i \cos \theta_i + \sin \theta_t \cos \theta_t} = \frac{2 \cos \theta_i \sin \theta_t}{\sin(\theta_i + \theta_t) \cos(\theta_i - \theta_t)} \end{cases}$$



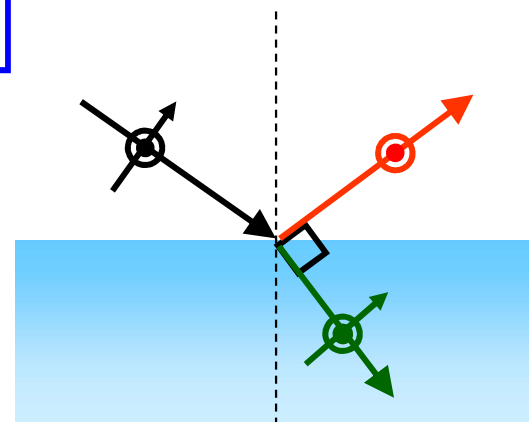
讨论一些特殊情形下的反射与折射现象

(1) $\theta_i + \theta_t = \pi/2$ 情形。反射波为垂直于入射面的完全偏振波



Brewster 定律

$$\begin{cases} \frac{E_{r0}''}{E_0''} = \frac{\sqrt{\varepsilon_2} \cos \theta_i - \sqrt{\varepsilon_1} \cos \theta_t}{\sqrt{\varepsilon_2} \cos \theta_i + \sqrt{\varepsilon_1} \cos \theta_t} = \frac{\sin \theta_i \cos \theta_i - \sin \theta_t \cos \theta_t}{\sin \theta_i \cos \theta_i + \sin \theta_t \cos \theta_t} = \frac{\tan(\theta_i - \theta_t)}{\tan(\theta_i + \theta_t)} \\ \frac{E_{t0}''}{E_0''} = \frac{2 \cos \theta_i \sin \theta_t}{\sin \theta_i \cos \theta_i + \sin \theta_t \cos \theta_t} = \frac{2 \cos \theta_i \sin \theta_t}{\sin(\theta_i + \theta_t) \cos(\theta_i - \theta_t)} \end{cases}$$

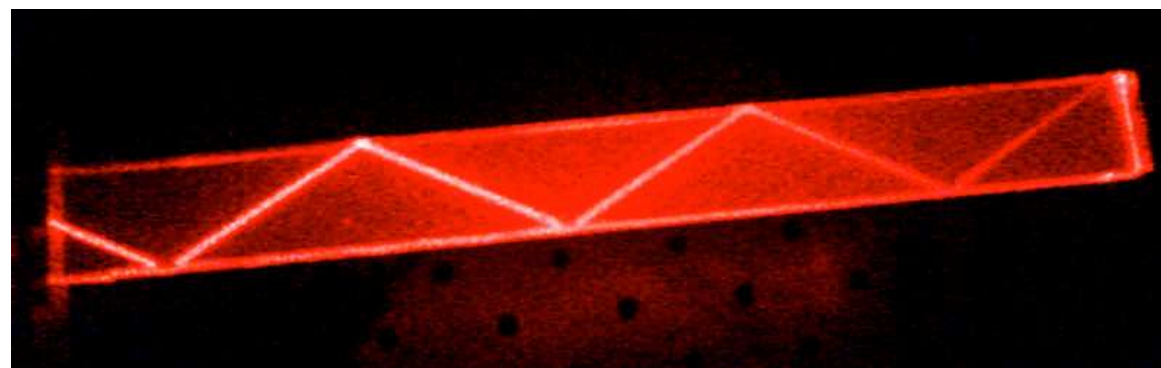
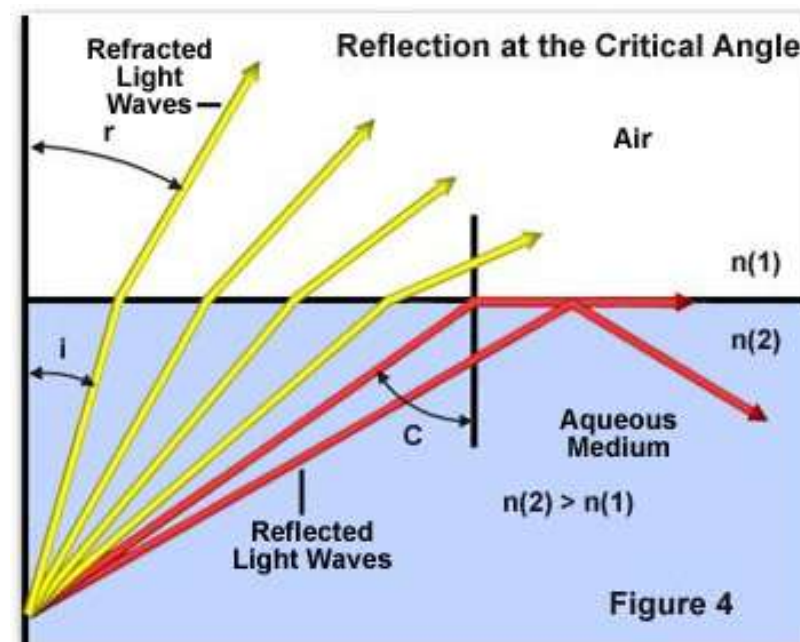


(2) 电场垂直于入射平面的情形，如果 $\theta_i > \theta_t$ ($\varepsilon_2 > \varepsilon_1$ 就能满足)， E_{r0}/E_0 就为负数，即反射波电场与入射波电场反相，这种现象称为反射过程中的半波损失（垂直极化）。



(3) 全反射

在 $\varepsilon_1 > \varepsilon_2$ 的条件下，必然有 $n_{21} < 1$ 。当增大入射角到 $(\theta_i)_c = \arcsin n_{21}$ 时， θ_t 将变成 $\pi/2$ ，这时折射波沿界面掠过；如果再增大入射角到 $\sin \theta_t = \sin \theta_i / n_{21} > 1$ ，能够满足该条件的 θ_t 就不再存在，出现了“全反射”现象， $(\theta_i)_c$ 称为临界角。

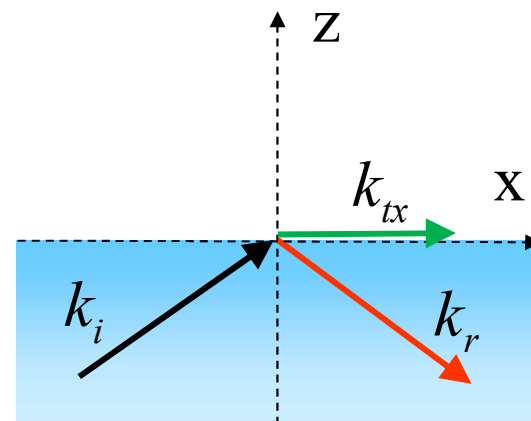


在入射角 θ_i 大于临界角 $(\theta_i)_c$ 时电场的表示形式仍然不变，
 边值关系当然也仍然成立，即 $k_{tx} = k_{ix} = k_i \sin \theta_i$ 及 $k_t = k_i v_1 / v_2 = k_i n_{21}$
 仍然成立。在 $k_{tx} > k_t$ 情形下，有 $\sin \theta_i > n_{21}$ ，因而

$$k_{tz} = \sqrt{k_t^2 - k_{tx}^2} = -jk_i \sqrt{\sin^2 \theta_i - n_{21}^2}$$

虚数

令： $k_{tz} = -j\alpha$, $\alpha = k_i \sqrt{\sin^2 \theta_i - n_{21}^2}$



折射电场为： $E_t = E_{t0} e^{-\alpha z} e^{j(\omega t - k_{tx} x)}$

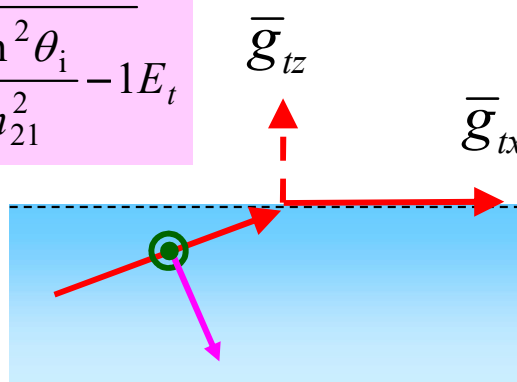
沿 x 传播的波，

场强沿 z 方向指数衰减。

$$\frac{1}{\alpha} = \frac{1}{k_i \sqrt{\sin^2 \theta_i - n_{21}^2}} = \frac{\lambda_i}{2\pi \sqrt{\sin^2 \theta_i - n_{21}^2}}$$



考虑 E_t 垂直于入射面的情形 ($E_t = E_{ty} \mathbf{e}_y$) :

$$H_t = \sqrt{\frac{\epsilon_2}{\mu_2}} \frac{k_t}{k_t} \times E_t \Rightarrow \begin{cases} H_{tz} = \sqrt{\frac{\epsilon_2}{\mu_2}} \frac{k_{tx}}{k_t} E_{ty} = \sqrt{\frac{\epsilon_2}{\mu_2}} \frac{\sin \theta_i}{n_{21}} E_t \\ H_{tx} = -\sqrt{\frac{\epsilon_2}{\mu_2}} \frac{k_{tz}}{k_t} E_{ty} = -j \sqrt{\frac{\epsilon_2}{\mu_2}} \sqrt{\frac{\sin^2 \theta_i}{n_{21}^2} - 1} E_t \end{cases}$$


H_{tz} 与 E_t 同相, 而 H_{tx} 与 E_t 有 $\pi/2$ 相位差。
折射波的平均能流密度为:

$$\bar{\mathbf{g}} = \frac{1}{2} \text{Re}(\mathbf{E} \times \mathbf{H}^*) \Rightarrow \begin{cases} \bar{g}_{tx} = \frac{1}{2} \text{Re}(E_{ty} H_{tz}^*) = \frac{1}{2} \sqrt{\frac{\epsilon_2}{\mu_2}} |E_{t0}|^2 e^{-2\alpha z} \frac{\sin \theta_i}{n_{21}} \\ \bar{g}_{tz} = -\frac{1}{2} \text{Re}(E_{ty} H_{tx}^*) = 0 \end{cases}$$

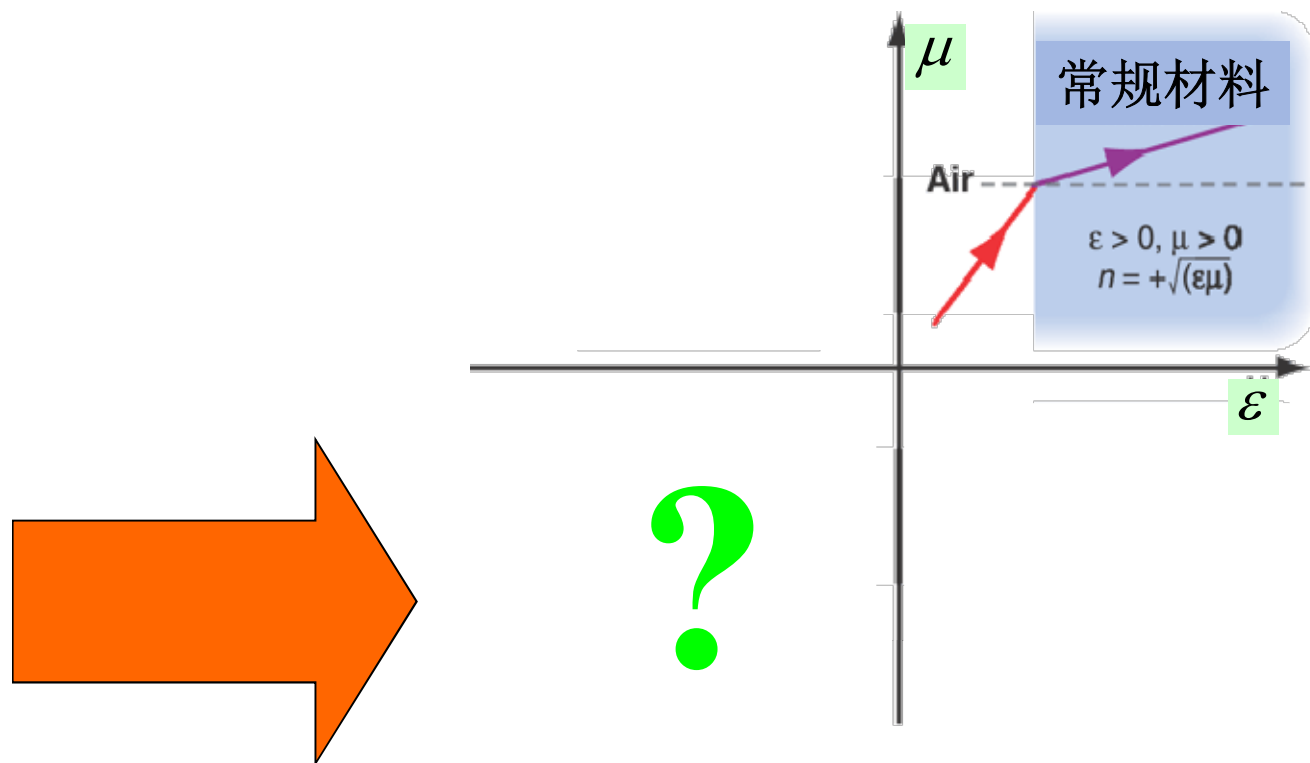
折射波平均能流密度只有x分量, z分量为零。



菲涅耳公式在 $\sin \theta_i > n_{21}$ 情形下形式上仍然成立，只要注意到下式

$$\begin{cases} \sin \theta_t \rightarrow \frac{\sin \theta_i}{n_{21}} > 1 \\ \cos \theta_t \rightarrow j \sqrt{\frac{\sin^2 \theta_i}{n_{21}^2} - 1} \end{cases}$$





左手材料 (*left-handed material*) ($\epsilon < 0, \mu < 0$)

1968 苏联科学家 **V. Veselago** 院士理论分析

2000 美国加州大学圣地亚哥分校 **D. R. Smith** 教授进行了实验验证

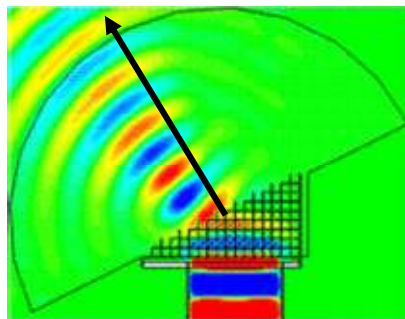
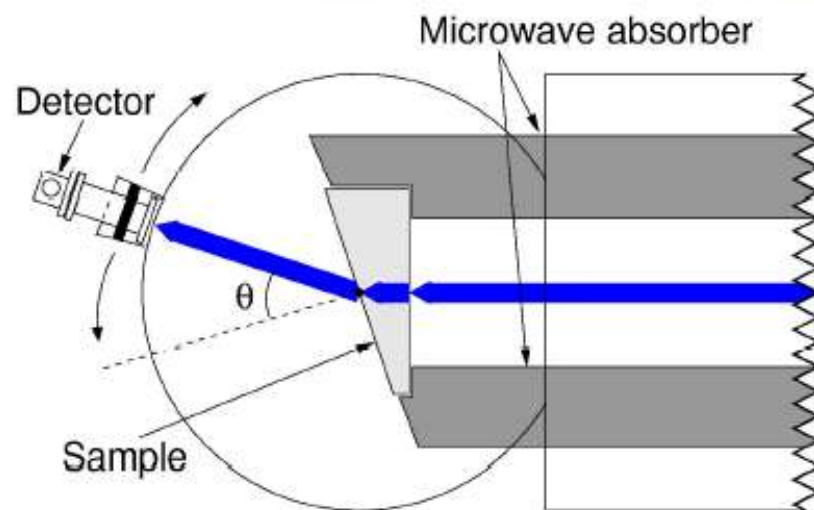


V. G. Veselago

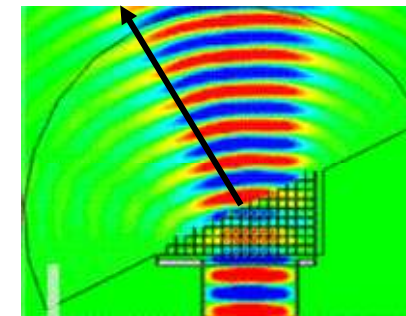
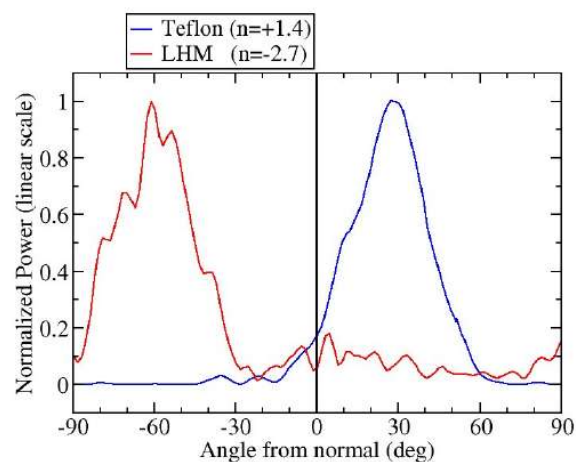
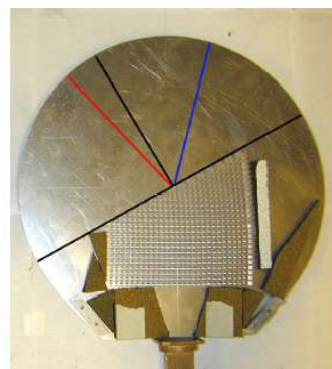
人工电磁材料: $\epsilon < 0, \mu < 0 \implies n < 0$ 负折射率材料



负折射现象实验验证



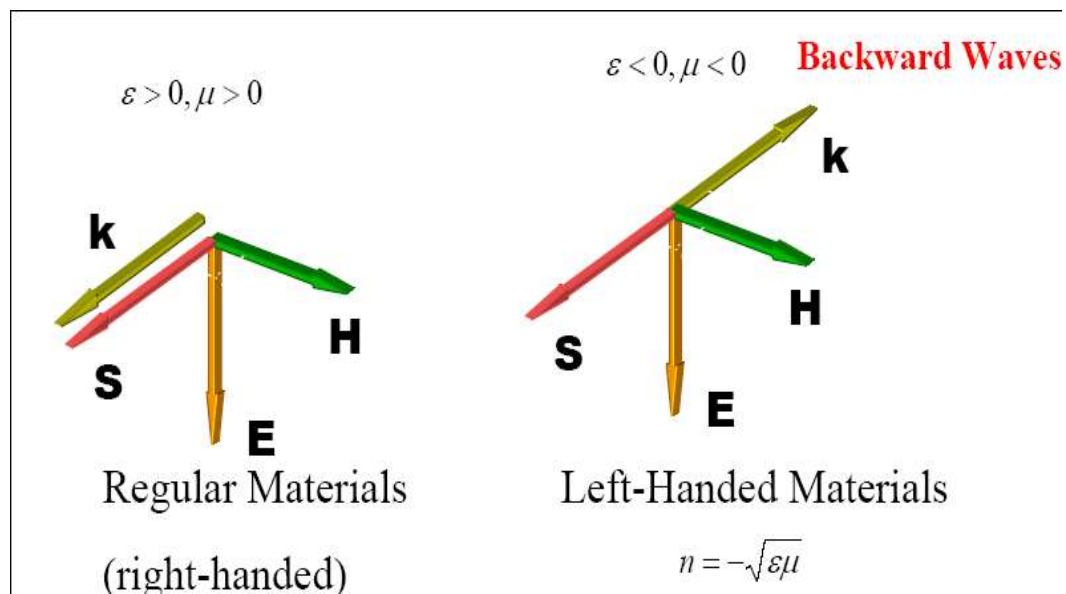
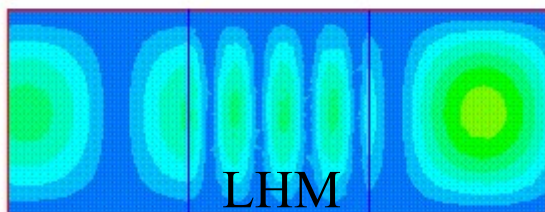
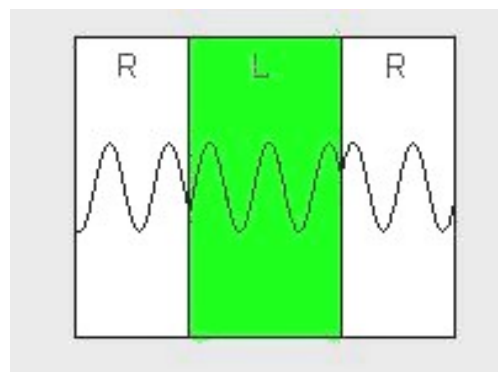
负折射



正折射



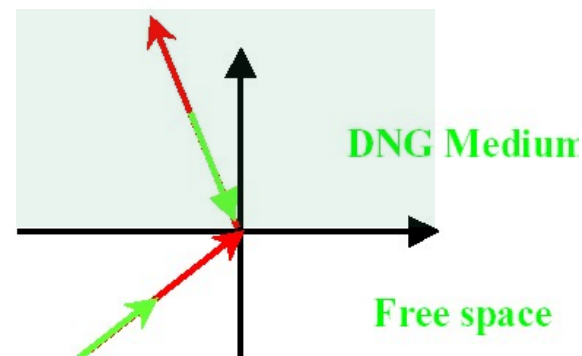
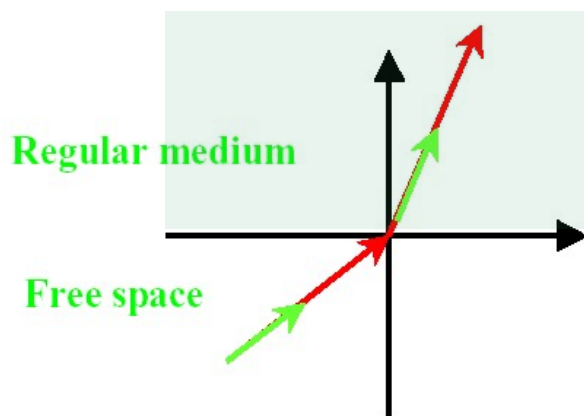
传播方向和能流方向反向平行: 反向波



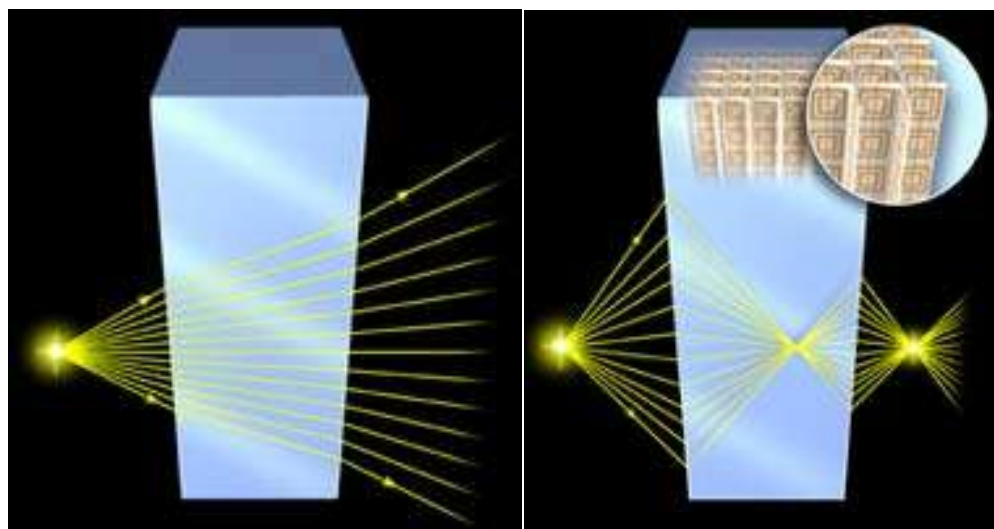
$$\begin{aligned} \mathbf{k} \times \mathbf{E} &= -\omega|\mu|\mathbf{H} \\ \mathbf{k} \times \mathbf{H} &= +\omega|\epsilon|\mathbf{E} \end{aligned}$$



负折射现象 (negative refraction)



- 折射方向与入射方向在法线的同侧。
- 折射能量与波矢量方向相反。



平板会聚透镜



Giving light the second hand!



例1：试证明线偏振波在介质分界面上全反射后，在一般情况下变为椭圆偏振波，并求出变为圆偏振波时需要满足的条件。

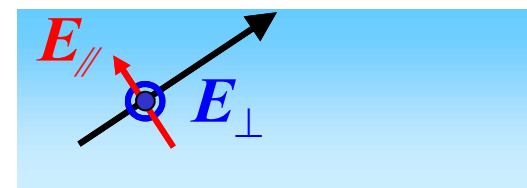
解：将线偏振波的电场强度矢量分解为垂直于入射面和平行于入射面的两个分量，分别计算它们在全反射后的情况。

(1) 对入射波电场强度垂直于入射面的分量，用近似关系式

$$n_{21} = \sqrt{\varepsilon_2 / \varepsilon_1} \text{ 得到: } \left(\frac{E_{r0}}{E_0} \right)_{\perp} = \frac{\cos \theta_i - n_{21} \cos \theta_t}{\cos \theta_i + n_{21} \cos \theta_t},$$

当发生全反射时， $\theta_i > (\theta_i)_c$,

$$\cos \theta_t = j \sqrt{\frac{\sin^2 \theta_i}{n_{21}^2} - 1}$$



$$\left(\frac{E_{r0}}{E_0} \right)_{\perp} = \frac{\cos \theta_i - j \sqrt{\sin^2 \theta_i - n_{21}^2}}{\cos \theta_i + j \sqrt{\sin^2 \theta_i - n_{21}^2}} = e^{-j\delta_{\perp}}$$



对入射波电场强度平行于入射面的分量，有

$$\left(\frac{E_{r0}}{E_0}\right)_{//} = \frac{n_{21}\cos\theta_i - \cos\theta_t}{n_{21}\cos\theta_i + \cos\theta_t} = \frac{n_{21}^2\cos\theta_i - j\sqrt{\sin^2\theta_i - n_{21}^2}}{n_{21}^2\cos\theta_i + j\sqrt{\sin^2\theta_i - n_{21}^2}} = e^{-j\delta_{//}}$$

$$\tan\frac{\delta_{//}}{2} = \frac{\sqrt{\sin^2\theta_i - n_{21}^2}}{n_{21}^2\cos\theta_i}$$

$$\tan\frac{\delta_{\perp}}{2} = \frac{\sqrt{\sin^2\theta_i - n_{21}^2}}{\cos\theta_i}$$

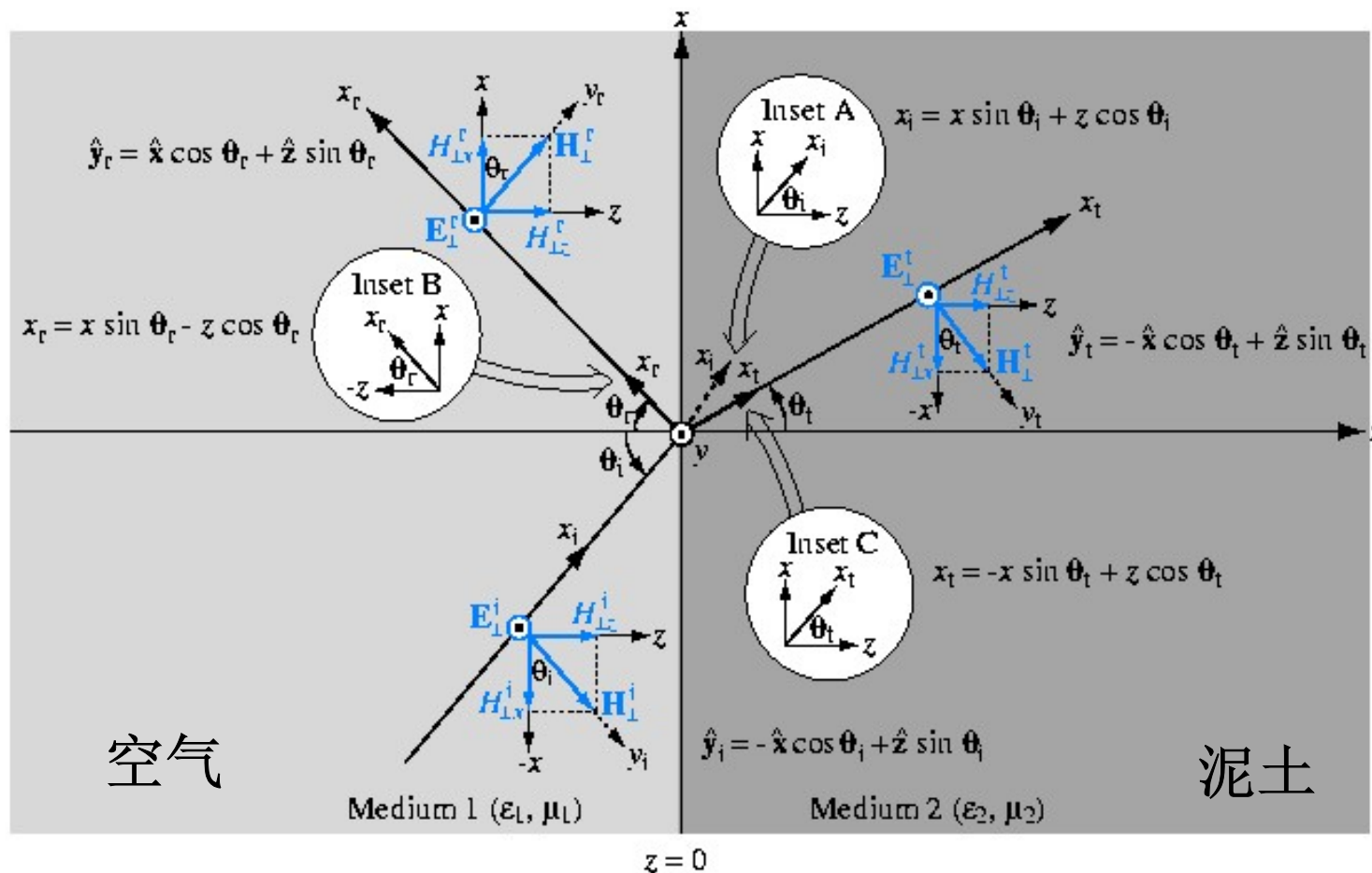
令 $\delta = \delta_{//} - \delta_{\perp}$ ，显然 $\delta_{//} \neq \delta_{\perp}$ 。如果线偏振波有垂直于入射面和平行于入射面的分量，那么在全反射之后，由于两分量有相位差，电场矢量就不再是线偏振波，通常它会形成椭圆偏振波。如果要使全反射后得到圆偏振波，一方面入射波电场必须与入射面成 45° 角，这样两个分量幅度相等，在全反射后振幅仍然相等；另一方面还必须使 $\delta = \pi/2$ ，即：

$$\tan\frac{\delta}{2} = \frac{\tan\frac{\delta_{//}}{2} - \tan\frac{\delta_{\perp}}{2}}{1 + \tan\frac{\delta_{//}}{2}\tan\frac{\delta_{\perp}}{2}} = \frac{\cos\theta_i\sqrt{\sin^2\theta_i - n_{21}^2}}{\sin^2\theta_i} = 1$$

当 $n_{21} < 0.41$ 时有实数解。

$$\cos\theta_i = \frac{1}{2}\sqrt{(3 - n_{21}^2) \pm \sqrt{(n_{21}^2 - 3)^2 - 8}}$$





例2：平面波从空气斜入射到泥土表面，入射电场为；

$$E^i = \hat{y}100 \cos(\omega t - \pi x - 1.73\pi z)$$

泥土可看作无损介质，介电常数为4，求 k_1, k_2 ，和入射角 θ_i 及空气和泥土中的总电场。



$$\dot{\mathbf{E}}^i = \hat{\mathbf{y}}100e^{-j\pi x - j1.73\pi z} = \hat{\mathbf{y}}100e^{-j\mathbf{k}_1 \cdot \mathbf{r}}$$

$$\mathbf{k}_1 \cdot \mathbf{r} = k_1 x \sin\theta_i + k_1 z \cos\theta_i = \pi x + 1.73\pi z$$

$$k_1 \sin\theta_i = \pi \quad k_1 \cos\theta_i = 1.73\pi$$

$$k_1 = \sqrt{\pi^2 + (1.73\pi)^2} = 2\pi \quad \theta_i = \tan^{-1}\left(\frac{\pi}{1.73\pi}\right) = 30^\circ$$

$$\lambda_1 = \frac{2\pi}{k_1} = 1 \quad \lambda_2 = \frac{\lambda_1}{\sqrt{\epsilon_{r2}}} = 0.5 \quad k_2 = \frac{2\pi}{\lambda_2} = 4\pi$$

关键：平面波的表达式

$$\sin\theta_t = \frac{k_1}{k_2} \sin\theta_i = \frac{2\pi}{4\pi} \sin 30^\circ \quad \theta_t = 14.5^\circ$$

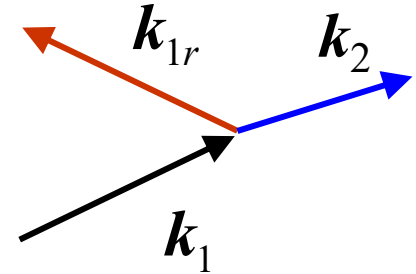
$$\Gamma_{\perp} = \frac{E_{r0}^{\perp}}{E_0^{\perp}} = \frac{\sqrt{\epsilon_1} \cos\theta_i - \sqrt{\epsilon_2} \cos\theta_t}{\sqrt{\epsilon_1} \cos\theta_i + \sqrt{\epsilon_2} \cos\theta_t} = -0.38$$

$$\tau_{\perp} = \frac{E_{t0}^{\perp}}{E_0^{\perp}} = \frac{2\sqrt{\epsilon_1} \cos\theta_i}{\sqrt{\epsilon_1} \cos\theta_i + \sqrt{\epsilon_2} \cos\theta_t} = 0.62 = 1 + \Gamma_{\perp}$$



$$\begin{aligned}\dot{\mathbf{E}}^1_{\perp} &= \dot{\mathbf{E}}^i_{\perp} + \dot{\mathbf{E}}^r_{\perp} = \hat{\mathbf{y}}E^i_{\perp 0}e^{-jk_1(x\sin\theta_i+z\cos\theta_i)} + \hat{\mathbf{y}}\Gamma E^i_{\perp 0}e^{-jk_1(x\sin\theta_i-z\cos\theta_i)} \\ &= \hat{\mathbf{y}}100e^{-jk_1(\pi x+1.73\pi z)} - \hat{\mathbf{y}}38e^{-jk_1(\pi x-1.73\pi z)}\end{aligned}$$

$$\begin{aligned}\dot{\mathbf{E}}^t_{\perp} &= \hat{\mathbf{y}}\tau E^i_{\perp 0}e^{-jk_2(x\sin\theta_t+z\cos\theta_t)} \\ &= \hat{\mathbf{y}}62e^{-j(\pi x+3.87\pi z)}\end{aligned}$$



$$\begin{aligned}\mathbf{e}^1_{\perp} &= \text{Re}(\dot{\mathbf{E}}^1_{\perp}e^{j\omega t}) \\ &= \hat{\mathbf{y}}100\cos(\omega t - \pi x - 1.73\pi z) - \hat{\mathbf{y}}38\cos(\omega t - \pi x + 1.73\pi z)\end{aligned}$$

$$\mathbf{e}^t_{\perp}(x, z, t) = \text{Re}(\dot{\mathbf{E}}^t_{\perp}e^{j\omega t}) = \hat{\mathbf{y}}62\cos(\omega t - \pi x - 3.87\pi z)$$

关键：平面波的表达式

